

# 自由行程楔形机构

庫里科夫著

机械工业出版社

# 自由行程楔形机构

库里科夫著

邵渭贤译



机械工业出版社

1957

09756

## 出版者的話

本書研究楔形的自由行程（滾柱的真正楔形）的機構理論上的和構造上的問題。書中确定了選擇楔住角的數值和自由行程機構其他構造上的参数的关系。書中解决了关于機構的楔住時間的問題并作出了它的強度計算。

本書还談到現有机構的構造和試驗材料。

本書供工程技術人員及大專师生参考。

苏联 H. K. Куликов 著‘Клиновые механизмы свободного хода’(Машгиз 1954 年第一版)

\* \* \*

NO. 1593

---

1957年12月第一版 1957年12月第一版第一次印刷  
850×1168  $\frac{1}{32}$  字数 27千字 印張 2  $\frac{5}{16}$  0,001→ 1,400 冊  
机械工业出版社(北京东交民巷 27 号)出版  
机械工业出版社印刷厂印刷 新华书店發行

---

北京市書刊出版業營業許可証出字第 008 号 定价(10) 0.46 元

## 目 次

引言 .....	5
基本的前提 .....	8
摩擦力和摩擦系数 .....	8
自由行程机构的工作 .....	13
自由行程机构的计算简图 .....	14
自由行程机构元件的运动规律 .....	17
在楔住过程中作用在元件上的力 .....	18
在楔住过程中自由行程机构元件的运动的微分方程式 .....	19
在楔住过程中元件运动的规律 .....	21
楔住状态下的机构 .....	25
松开过程 .....	27
摩擦和楔住角对自由行程机构工作的影响 .....	28
楔住过程 .....	28
在楔住状态下的机构 .....	31
松开过程 .....	33
楔住角数值的选择 .....	34
在真正的楔形机构的接触面上实现必需的摩擦系数 .....	35
在滚柱机构的接触面上实现必需的摩擦系数 .....	41
机构开合的迅速性 .....	43
楔住时间 .....	43
机构的怠转行程 .....	48
元件形状对机构工作的影响 .....	50
楔块的形状 .....	50
楔块的形状对内力分布情形的影响 .....	54
从构造上改善自由行程机构结构的措施 .....	58

强度计算 .....	65
作用在机构元件上的力 .....	65
滚柱机构的强度计算 .....	68
真正楔形机构的强度计算 .....	71
参考文献 .....	73

## 引　　言

自由行程机构（越速离合器）在现代机器制造中已经获得了广泛的应用。例如在各种不同的起动装置、金属切削机床、增压器、脚踏车和汽车的变速器中都采用着它。

在汽车的变速器中采用自由行程机构时，对它提出特别高的要求，因为没有作用可靠、构造简单和经久耐用的自由行程机构就不可能产生现代的自动和自动化的变速。同时必须指出，在将来完全有可能出现脉冲传动。

自由行程机构是用来根据机器的主动和从动元件（一般是轴）间速度的关系而接合和分开它们的一种装置。当主动元件的速度力求变得大于从动元件的速度时，自由行程机构就接合而把这两个元件锁住。当速度的对比相反时，自由行程机构就脱开，主动部分和从动部分就各自独立地运动。

机械的自由行程机构可以分成两类：直接作用的机构和摩擦机构。

直接作用的自由行程机构的主动元件借助于某一装置而和从动元件相联结，这种装置的工作与摩擦力的存在无关。在这一类中包括各种各样的棘轮机构。

棘轮机构具有某些缺点，限制了它的应用，例如：机构的元件存在着不可避免的、巨大的怠转行程；接合时的过分突然给机构的元件带来了冲击负荷；当以巨大的速度工作时产生响声。

摩擦机构的特征是，它的工作原理是以摩擦力的利用为基础的。

---

● 自由行程机构有时称为自由行程接合器，如果它以巨大的频率接合工作时或者称为自动接合器。以后，这里所指的只是机械的自由行程机构，我们将以缩写MCX来表示它。

这类自由行程机构可以分成几种：楔形的、弹簧的和带形的等等。

本書所述的材料只是关于最流行的和有着巨大的应用前途的楔形的自由行程机构。

楔形的自由行程机构有着两种型式。在第一种型式的自由行程机构中（真正的楔形机构），不转动的楔住体是在静摩擦力和滑动摩擦力的作用下移动的；而在第二种型式的自由行程机构（滚柱的和与之相类似的机构）中，转动的楔住体是在静摩擦力和滚动摩擦力的作用下移动的。我們將把真正的楔形机构称为第一类楔形的自由行程机构，而把滚柱的和与之相类似的机构称为第二类自由行程机构。

圖1所示是最簡單的滚柱机构的構造簡圖。滚柱机构一般由內圈1和外圈2、几个滚柱3（楔住体）和压紧弹簧4●所組成。机构的工作情形如下。当內圈对外圈作順时針旋轉（或外圈按相反方向——反時針——对內圈旋轉）时，滚柱就滾向內外圈之間的空間的狹窄部分把机构楔住，使机构的所有元件都联成一整体。当內圈按与上述相反的方向——反時針——对外圈旋轉（或外圈按与上述相反的方向——順时針——对內圈旋轉）时，就發生相反的現象——滚柱向內外圈之間的空間的寬闊部分滾出，机构就被松开而它的內外圈就各自独立地运动。弹簧是用来經常地把滚柱同时压向內外圈的。

在某些場合下（圖2）滚柱安放在公共的隔圈內，隔圈由一根弹簧压紧。

滚柱自由行程机构是摩擦机构中最普遍的型式。这是因为它

● 在以后的圖3、13、14、16、17、24~28和37中采用了相同的記号。

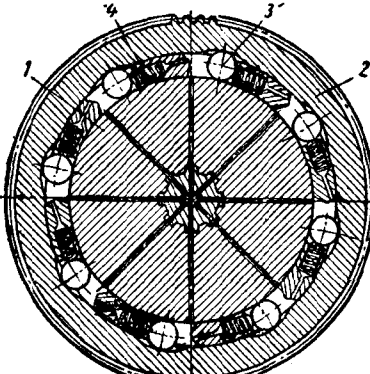


圖1 滚柱自由行程机构的簡圖。

具有优良的性能——例如：较小的怠轉行程，在交替地接合和松开时没有响声、自动而又准确。但同时就要求这些机构的制造要有高度的精确性和优良的品质。滚柱和内外圈都在繁重的条件下工作（巨大的正应力和切应力），这就

难于削制尺寸小而强有力的机构。后面几个缺点在真正的楔形自由行程机构中是消除了；最简单的这种机构的简图见图3所示。

真正的楔形机构的工作原理和滚柱自由行程机构的工作原理并无不同：当被传送的力矩增加时，楔块（如同滚柱一样）被吸向内外圈之间空间的内部，而当力矩减小时，就向相反的方向运动。真正的楔形机构和滚柱机构之间的差别只是在于其中第一种的楔住体在工作时是不旋转的，而第二种是旋转的。

图4所示是汽车和发动机科学研究院（НАМИ）所制定的真

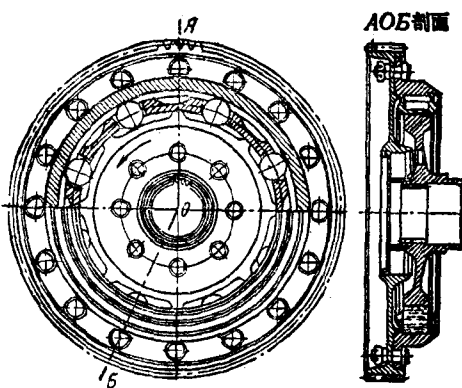


图2 滚柱机构的结构。

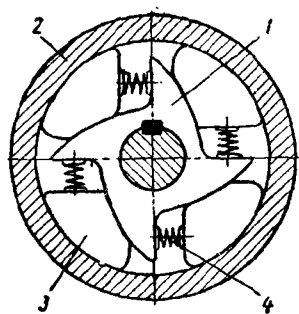


图3 带有转圈的真正的楔形自由行程机构。

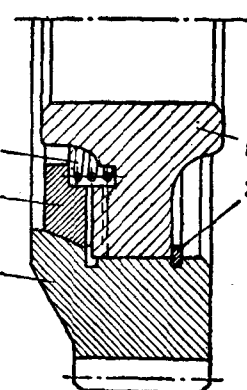


图4 НАМИ的楔形机构的简图。

正的楔形自由行程机构的剖面圖❷，而圖5是它的外貌。这一机构由帶有端齿的盤1(圖4)，錐形圈3，帶有錐形表面和端齿的楔住体4，压紧彈簧5和鎖圈2所組成。

对机构工作的所有阶段(楔住过程、楔住状态、松开过程、怠轉行程)所进行的理論研究使得能够查明摩擦力、楔住角、元件的彈性和質量等的影响。在研究工作中还研究了机构元件的强度問題和構造上的特点对它的性質的影响。

本書所叙述的材料不仅仅在創制和改进楔形自由行程机构时显得有用，而且在設計和計算帶有球形加力器的盤形制动器、凸輪差速器和相类似的裝置时也是有用的。

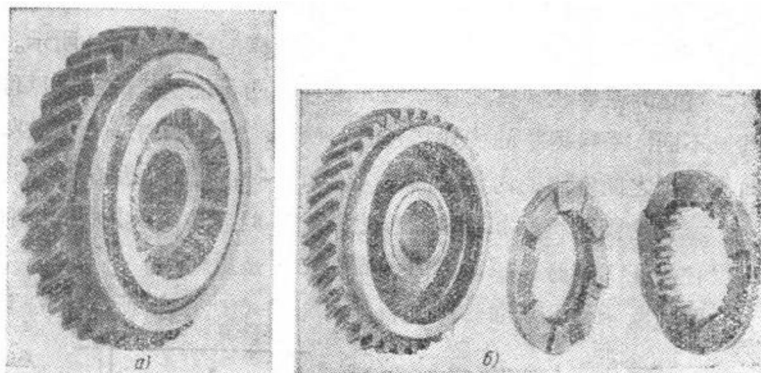


圖5 供汽車自動變速器用的HAMI楔形機構的外貌：a—總成；b—零件。

## 基本的前提

### 摩擦力和摩擦系数

摩擦力有着不同的种类。通常分为滑动摩擦力(第一类摩擦)、靜摩擦力和滚动摩擦力(第二类摩擦)。

❷ 楔形机构現在已被采用在HAMI所設計的自动变速器中：供MAZ-525型汽车和电气拖拉机用的自动变速器中。

所有摩擦的自由行程机构都是以静摩擦力和第一类摩擦力的利用为基础的。而在滚柱机构中，则除此之外，在它的工作的某些阶段中实际起作用的是第二类摩擦力。

摩擦力是许多参数的函数，例如：作用在机构上的力、接触面的质量和状况、接触面的相对速度和力所作用的延续时间等等的函数。

摩擦力随着作用在系统上的力和机构元件间的相对速度而变化的规律，对于阐明自由行程机构的工作来说有着重大的意义。所有以后的计算都将在关系到这些力的下列前提下进行。

**第一类摩擦力** 物体的干摩擦的基本定律可以列成关系式

$$F = \mu N, \quad (1)$$

式中  $F$ ——摩擦力；

$N$ ——正压力；

$\mu$ ——摩擦系数。

摩擦力  $F$  是因作用着的外力所引起的内部反应力。假使力  $P$  的数值和方向在某一范围内变化，而使法向分力（正压力）保持不变（图 6），那么摩擦力同样将会变化。

我们来作出摩擦力随着物体 1 对基体作稳定运动时的速度  $V$  而变化的曲线。为此，我们将横轴上截取表示相对速度的数值，而在纵轴上截取表示摩擦力  $F = P$  的数值。如假定把物体 1 向右运动时的相对速度  $V$  作为是正的（相应的摩擦力就是负的），我们就得到图示曲线（图 7）。从图上可以看出，当  $-F_0 \leq P \leq +F_0$  时，物体保持不动。在开始移动的瞬间，摩擦力的值达到某一最大值  $F_0$ ；当物体在移动时，滑动摩擦力  $F_c$  小于静摩擦力的极限值  $F_0$ 。<sup>●</sup>

假使从公式（1）来决定摩擦系数，那么它将等于

$$\mu = \frac{F}{N}, \quad (2)$$

● 对某些摩擦副来说，可能是  $F_0 \leq F_c$ 。但金属的摩擦副一般并不具有这一关系。

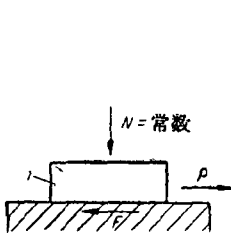


圖 6 第一类摩擦力。

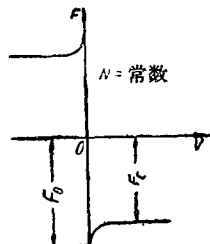


圖 7 摩擦力根据相对速度而起的变化。

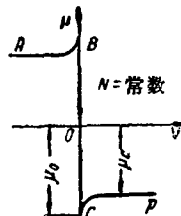


圖 8 摩擦系数随相对速度而起的变化。

而且当  $N$  不变时，摩擦系数将根据实际起作用的摩擦力  $F$  而变。

摩擦系数随速度而变的规律示于圖 8。圖 9 所示是摩擦系数随着外力  $P$  而变的曲线。在所分析的情况下，实际起作用的摩擦系数是外力的函数。我們来研究放在具有倾斜角  $\alpha$  的倾斜平面上的物体作为补充的例子。写下重量的平衡条件，我們得到唯一的关系

$$\mu = \operatorname{tg} \alpha,$$

它把实际起作用的摩擦系数值和倾斜角联系起来。在这一場合下，实际起作用的摩擦系数只是设备的几何形状的函数而和外力及元件的材料无关。当倾斜角增加时，实际起作用的摩擦系数在  $\mu \leq \mu_0$  的时候也相应地增加；假如倾斜角大到  $\operatorname{tg} \alpha > \mu_0$ ，那么就发生滑动，这时摩擦系数  $\mu_C$  就随速度而变化。圖 10 所示是  $\mu$  随着角  $\alpha$  的数值而变的曲线。

綜上所述，所有机构的工作都与摩擦有着密切的联系。对某些机构来说，摩擦是有害的，它引起不希望产生的能量损失。在

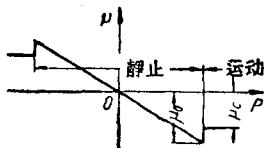


圖 9 摩擦系数随作用力而起的变化(当N=常数时)。

圖 10  $\mu$  随着倾斜角  $\alpha$  的数值而起的变化。

这一場合下，在互相压紧而各自按照独立的規律运动的兩接触体之間有相对的移动时，就产生切向力，也就是摩擦力，它只是由滑动摩擦系数  $\mu_c$  的数值所單值地决定（当正压力不变时）。滑动摩擦系数取决于接触表面的物理狀況；它表示出接触体对相对移动的抗拒程度；当过渡到相对的靜止时，它的極限值等于  $\mu_0$ 。圖 8 上曲線  $AB$  和  $CD$  線段相当于所研究的情形，这时，滑动摩擦系数只是根据相对速度而單值地确定。

另外一些機構的工作原理是以摩擦力的利用为其基础的。在这一場合下，摩擦使各种各样的車輛能够运动和使各种不同的摩擦機構，其中也包括自由行程機構，能够工作，这时的摩擦相当于垂直線段  $BC$ 。

在这一場合下，接触体之間沒有相对的移动，但由于物体的彈性和力的作用，接触体預先互相变形。其中一个接触体是主动的，另外一个是從动的。它們之間的相互联系是依靠靜摩擦力，它在这一場合下称为附着力。因此，靜摩擦系数称为附着系数比較确切。

一对物体能够附着的極限情况取决于摩擦系数  $\mu_0$  的值。

某些工作原理以摩擦力的利用为基礎的机器，在其中物体接触的实际条件下，摩擦（附着）系数在一般場合下是不定的，它决定于每一具体場合下机器的性質和作用在其上的力。为了决定实际起作用的摩擦（附着）系数的值必須进行机器工作的分析。在实际起作用的摩擦（附着）系数不超过可能的極限值时的所有場合下，机器都能够工作。

附着作用的存在使得机器能够当它的参数在某一範圍內变化时稳定地工作，因为在参数的每一新的数值时都能自动地建立一个新的实际起作用的附着系数。以后將会指出，在自由行程機構中如何自动地建立着必需的附着系数以及它的变化範圍的数值如何。

我們指出，以后所謂〔摩擦系数〕一詞是指它的相当于折線

$ABCD$  的所有数值。值  $\mu_0$  称为极限摩擦系数；某些材料的  $\mu_0$  的值列在下面。此外，我們認為，在  $\mu = \mu_0$ （或  $\mu = \mu_C$ ）的条件下規定摩擦力和正压力之間关系的庫朗（Кулон）定律在相当于相对静止区内实际起作用的摩擦系数的每一不变的数值时也是有效的。

摩擦体的材料	滑动摩擦系数 $\mu_C$		起动瞬间的摩擦系数 $\mu_0$	
	无润滑	略有润滑	无润滑	略有润滑
铁和铸铁或青铜	0.18	—	0.19	—
铁和铁	0.44	—	—	0.13
钢和钢	—	—	0.15	—
铸铁和木	0.49	0.19	—	—
木和木，顺纤维方向	0.48	—	0.62	—
木和木，横向纤维方向	0.34	—	0.54	—

**第二类摩擦力** 滚动摩擦力是在当圆柱形或球形物体在某一表面上滚动时出现的，它表现为正压力  $N$  的反作用力在物体运动方向移动某一数值  $f$  的这一事实，数值  $f$  称为滚动阻力系数。

这一数值决定于关系式

$$F_K r = P r = f N,$$

式中  $r$  — 圆柱半径；

$F_K$  — 滚动摩擦力。

下面所列是某些材料的滚动阻力系数  $f$  的数值。

摩擦体的材料	滚动阻力系数 $f$ (公分)
木和木	0.05~0.06
铁和铁	0.005
钢(球)和钢	0.0005~0.001
钢(滚柱)和钢	0.0035~0.014

以后假定，值  $f$  和速度及负荷无关。

假使滚柱位于两块平行的板之间，那么，为了使一块板平行于另一块板而移动（在正压力  $N$  作用下），必须加力  $P = F$ 。

力 $F$ 相当于第一类摩擦力，所以对滚柱来说，相当于第一类摩擦的摩擦系数 $\mu_K$ 由下式决定

$$\mu_K = \frac{F_K}{N} = \frac{f}{r}。 \quad (3)$$

### 自由行程机构的工作

图11 a 所示是最简单的自由行程机构的简图。滑块1和2可以在导轨内互相平行地移动。第一滑块有着凸起部分，在凸起部分的表面I上紧贴着楔块3。楔块的表面II和第二滑块的表面相接触。楔块在任何时间总是被弹簧4立刻压向两个滑块。在接触面I及II上存在着摩擦（附着）力。这一装置的用途是在于当第一滑块的速度（沿轴 $OX$ 方向移动）力图变得大于第二滑块的速度时，可以把两个滑块联结成整体而迫使它们一起运动。假使第二滑块的速度大于第一滑块，那么这机构就应该把两个滑块分开，它们就可以各自独立地运动。在两个滑块一起运动的情形下，这一机构可以把力从一个滑块传到另外一个滑块。

为了说明上述情况，我们来分析一个例子。让第一滑块和受压力及拉力的弹簧5相连接，而在第二滑块上加上某一个力 $P$ 。为了简单起见，我们认为在起始的时候整个机构是不动的，力是从零开始增大。假使力 $P$ 的方向如图11 b 所示并且机构的设计和制造都是正确的，那么第二滑块不应该在楔块上滑动，并且由于产生了摩擦力（在表面II上）就应该带动第一滑块，压紧弹簧5。

当力 $P$ 的方向如图11 c 所示时，那么，机构的工作就按另一种样子进行。第二滑块在受力的作用下差不多立刻开始沿着楔块

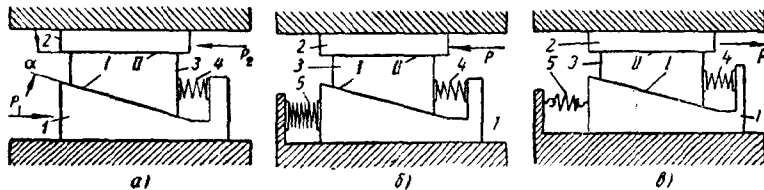


图11 机构工作的简图。

滑动，并且独立地加速运动。第一滑块停留着不动（弹簧 4 被强烈地压紧）或者略微向右移动，形成振动。

第二滑块在楔块上的滑动被摩擦力  $F_2$  所阻碍。不論外力  $P$  的数值和变化規律如何，摩擦力  $F_2$  总是和外力  $P$  平衡（滑块的質量目前在計算內不予考慮）。假使正压力  $N_2$  不变，这一情形不可能發生。在这一情形下

$$P_{\max} \leq \mu_{02} N_2,$$

式中  $\mu_{02}$ ——第二滑块在楔块上起动瞬间的静摩擦系数。

因此，当力  $P$  变化时，正压力也應該变化。但是正压力  $N_2$ ——楔块在第二滑块上作用的結果——取决于楔块在第一滑块上的位置。实际上，楔块和滑块都是彈性体，当力  $N_2$  增加时，沿着軸  $OY$  量度的楔块的尺寸應該減小，这就是說，它沿着第一滑块的傾斜面向上移动❷，因为第二滑块是不可能沿着这一軸向移动的。力  $N_2$  減小，則相反，必不可免地應該使楔块向下移动。

### 自由行程机构的計算簡圖

假使考慮到元件的彈性，那么自由行程机构就是一个至少具有五个自由度的裝置（二个自由度是滑块沿着导轨移动和三个自由度是楔住体的平面运动）。

后面三个自由度并不是独立的，因为在实现时就出現了附帶的关联。这一关联就是自由行程机构元件变形的数值与它们的相对位移之間存在着一定的关系。

变形的数值基本上取决于自由行程机构元件的彈性。在我們的工作中，假定元件的所有彈性都集中在靠近接触面 I 和 II 的地方。准确一点說，我們將使自由行程机构具有如圖 12 所示的構造形式。在这圖上，數目字 1 和 5 表示只能順着軸  $OX$  移动的絕對剛性的滑块；3 表示絕對剛性的楔块，它的重心可以平行于圖形的平面移动；2, 4, 7 和 11 表示絕對剛性的沒有重量的輔

❷ 指楔块的重心移动。

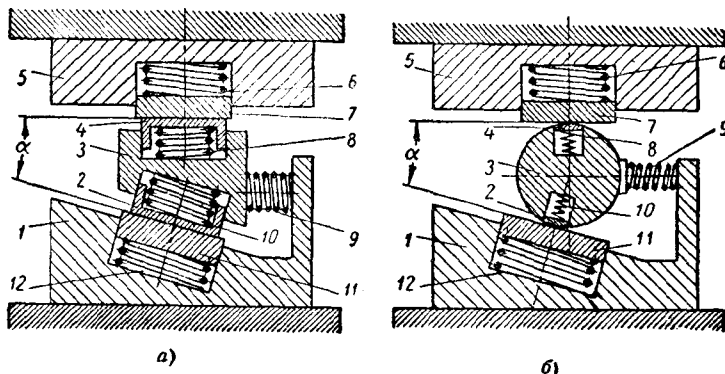


圖12 計算簡圖：  
a—真正的楔形機構；b—滾柱機構。

助活塞，它們緊密地嵌入在相應的殼內，但可以在其中前後移動（沒有摩擦）；6, 8, 9, 10 和 12 表示沒有重量的彈簧。

於是我們有條件地認為，楔塊和滑塊在垂直於表面的正壓力的作用下是彈性體。但對切向力，即方向平行於自由行程機構元件的表面的力來說，則它們是絕對剛性的。

我們來確定自由行程機構元件變形的數值與相對位移的數值之間的關係，用數字 1 表示帶有傾斜面的滑塊（圖 13），數字 2 表示平的滑塊，數字 3 表示楔塊。在以後的計算中，對表示機構相應元件的特性的所有數值都用這些數字作為指數；字母  $\alpha$  表示楔角。

圖 13 所示是楔塊在平行於軸  $OY$  移動時的兩個位置。從圖 13 看來，在垂直於滑塊平面方向中的變形<sup>●</sup> 相應地等於

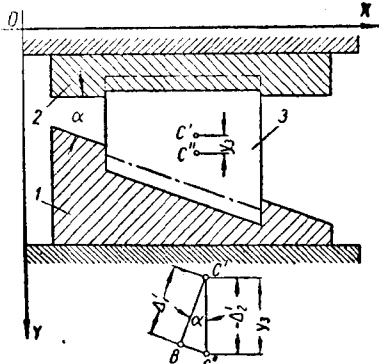
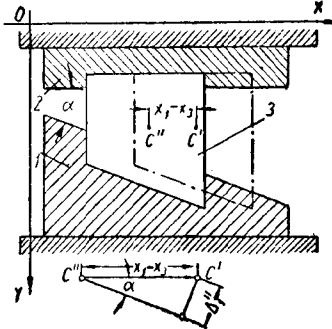
$$\Delta'_1 = y_s \cos \alpha;$$

$$\Delta'_2 = -y_s,$$

式中  $y_s$ ——楔塊重心從某一开始位置到終了位置時順著軸  $OY$  的位移的數值；假使它的方向和軸  $OY$  的方向相同，則這一位移被認為是正的。

在後一公式中，負號指明了，隨著楔塊重心的位移增加，第

<sup>●</sup> 原文為位移，似應改為變形。——譯者

圖13 楔住體順軸 $OY$ 的位移。圖14 楔住體順軸 $OX$ 的位移。

## 二滑塊的变形減小。

圖14所示是楔塊在沿平行于軸 $OX$ 方向移动时的兩個相鄰位置。由于楔塊順軸 $OX$ 移动而导致的滑塊的正向变形等于

$$\Delta_1'' = (x_1 - x_3) \sin \alpha,$$

$$\Delta_2'' = 0,$$

式中  $x_1$ ——第一滑塊从开始位置到終了位置的位移的数值；

$x_3$ ——楔塊重心从开始位置到終了位置順軸 $OX$ 的位移的数值。

假使  $x_1$  和  $x_3$  的方向与軸 $OX$ 的方向相同，則它們被認為是正确的。

在楔塊向前运动的一般情形下，正向变形决定于公式

$$\Delta_1 = \Delta_1' + \Delta_1'' = (x_1 - x_3) \sin \alpha + y_3 \cos \alpha; \quad (4)$$

$$\Delta_2 = \Delta_2' + \Delta_2'' = -y_3. \quad (5)$$

以后我們將認為对应于楔塊—第一滑塊和楔塊—第二滑塊兩对的剛性系数  $K_1$  和  $K_2$  为常数<sup>●</sup>。因此，当元件發生相对位移時所引起的正压力的数值將等于

● 对真正的楔形機構來說，采用不变的剛性系数是有足够的論証并且是准許的。对棱柱和滾珠的自由行程機構來說，条件  $\frac{\partial N_1}{\partial \Delta_1} = \text{常数}$  和  $\frac{\partial N_2}{\partial \Delta_2} = \text{常数}$  只有在十分微小的变形时才可認為是接近正确的。但是在以后很易看出，这一情况并不破坏关于楔住角容許值的結論的正确性，而只是在数量上歪曲了某些其他結論。